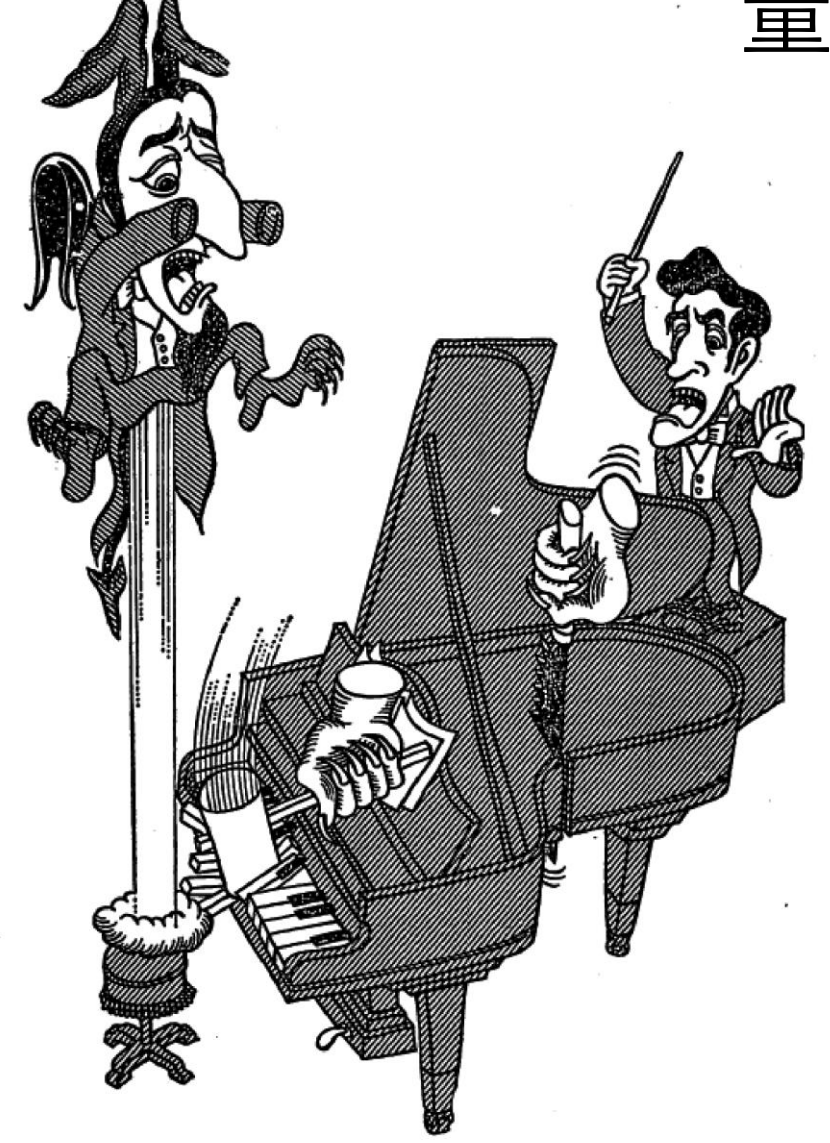
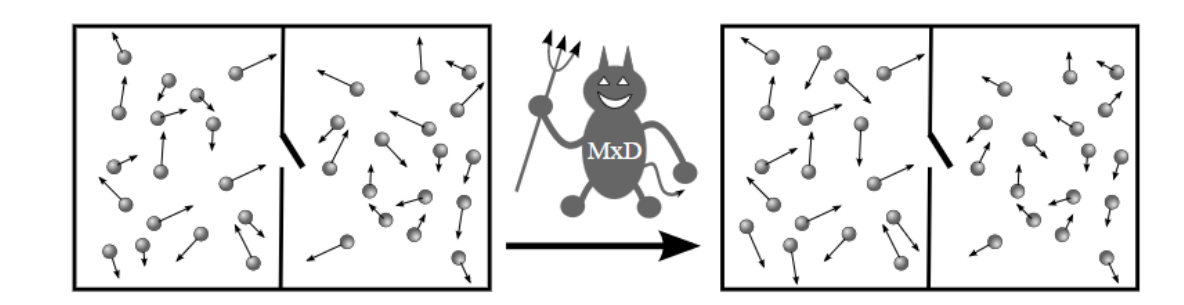


量子ドットはエンジンになるか?



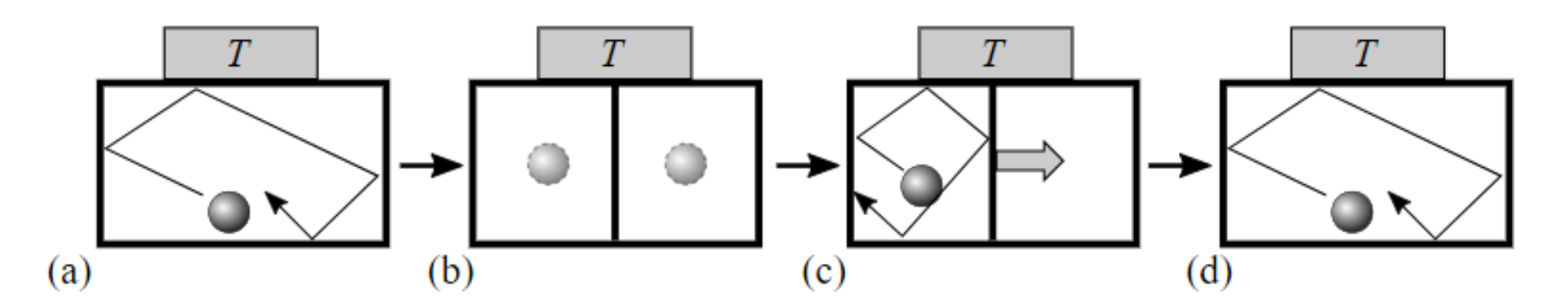
Maxwell Odaemon

- Daemonはそれぞれの分子を識別し、その速度を それぞれ測定できる。
- Daemonは上記測定結果に基づき、穴を開閉する.



ゆらぎのため、Daemonは存在しないという説あり

Szilardのエンジン



等温純静膨張 $k_{\rm B}T\log 2$

情報量,相互情報量

情報量
$$x \in X$$
 確率分布を p_x

$$S\{p_x\} = -\sum_{x \in X} p_x \ln p_x$$
 Shannon entropy $0 \le S\{p_x\} \le \ln N$

$$0 \le S\{p_x\} \le \ln N$$

$$x \in X \quad y \in Y$$

$$x\in X$$
 $y\in Y$ 連結確率分布を p_{xy} $p_x=\sum_{y\in Y}p_{xy},$ $p_y=\sum_{x\in X}p_{xy}$

相互情報量

$$S_{I}\{p_{xy}\} = S\{p_x\} + S\{p_y\} - S\{p_{xy}\} = \sum_{x \in X, y \in Y} p_{xy} \ln \frac{p_{xy}}{p_x p_y}$$

$$0 \le S_{\rm I}\{p(x,y)\} \le \min \left[S\{p(x)\}, S\{p(y)\}\right]$$

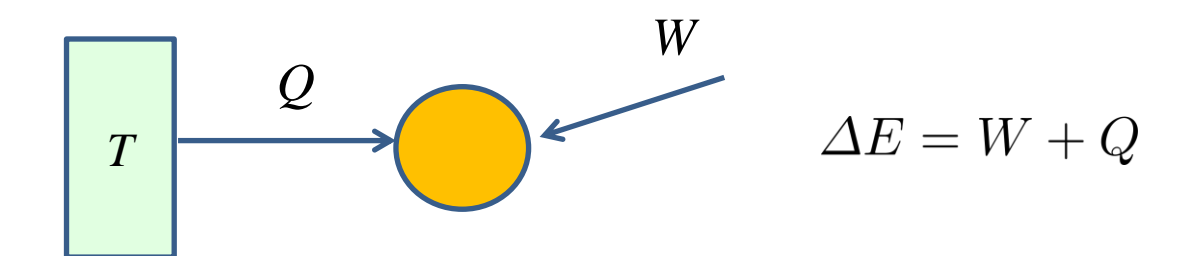
$$X = Y = \{0, 1\}$$

 $X=Y=\{0,1\}$ x: 被測定系の状態 y: 測定結果 ϵ : 測定誤り確率 とする

$$(0 \le \epsilon \le 1, \epsilon > 1/2 は、逆相関変数の測定に相当)$$

$$p_x(0) = p_x(1) = 1/2 p_{xy}(0,0) = p_{xy}(1,1) = \frac{1-\epsilon}{2}, p(0,1) = p(1,0) = \frac{\epsilon}{2}$$
$$S\{p_x\} = S\{p_y\} = \ln 2, S_I\{p_{xy}\} = \ln 2 + \epsilon \ln \epsilon + (1-\epsilon) \ln(1-\epsilon)$$

ゆらぎの定理



系のミクロな状態を表す変数: x(t) 確率過程, W,Q: 確率変数

確率的エントロピー
$$s_p(x,t) = -\ln p(x,t)$$
 $t = 0 \to \tau$ Δs_p

$$t = 0 \to \tau$$
 Δs_p

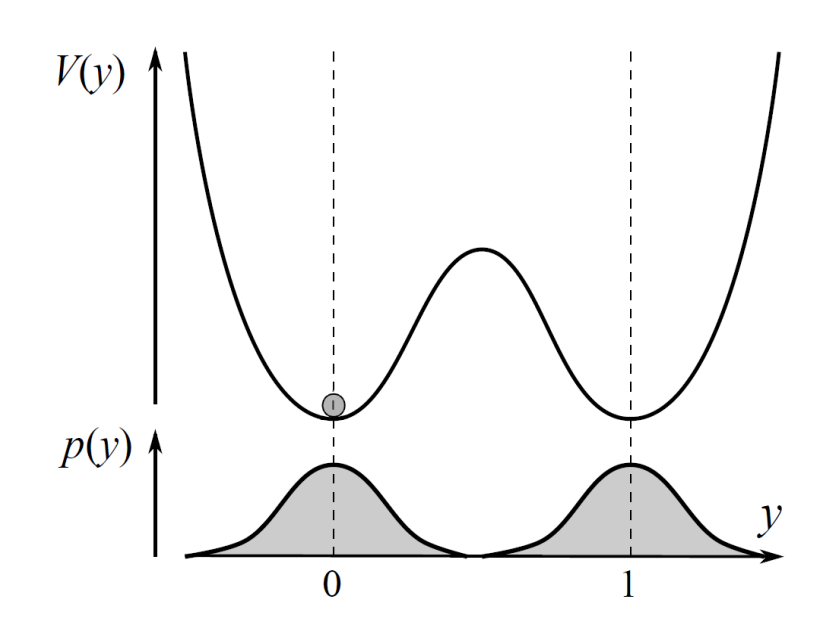
確率的エントロピー生成
$$\sigma = \Delta s_p - Q/k_BT$$

ゆらぎの定理
$$\langle e^{-\sigma} \rangle = 1$$

ゆらぎの定理 $\langle e^{-\sigma} \rangle = 1$ $\langle \cdots \rangle$ あらゆる可能なx(t) の経路についての平均

$$\langle \Delta s \rangle \ge \langle Q \rangle / k_{\rm B} T$$

ランダウアー原理



確率分布 p(y)1bit memory

条件確率分布
$$p(y|y_b)$$
 $p(y) = \sum_{y_b=0.1} p(y|y_b)p_{y_b}$

Total system

$$S = -\sum_{y_{b}=0,1} p_{y_{b}} \ln p_{y_{b}} - \sum_{y_{b}=0,1} p_{y_{b}} \int dy p(y|y_{b}) \ln p(y|y_{b})$$

$$\equiv S_{\text{mem}} + \sum_{y_{b}=0,1} p_{y_{b}} S_{y_{b}}. \quad (S_{\text{mem}}, S_{y_{b}} \text{definition})$$

Memory情報の消去 無情報状態 (標準状態)

$$y_{\rm b} = 0$$
 $S_{{
m def}0}$

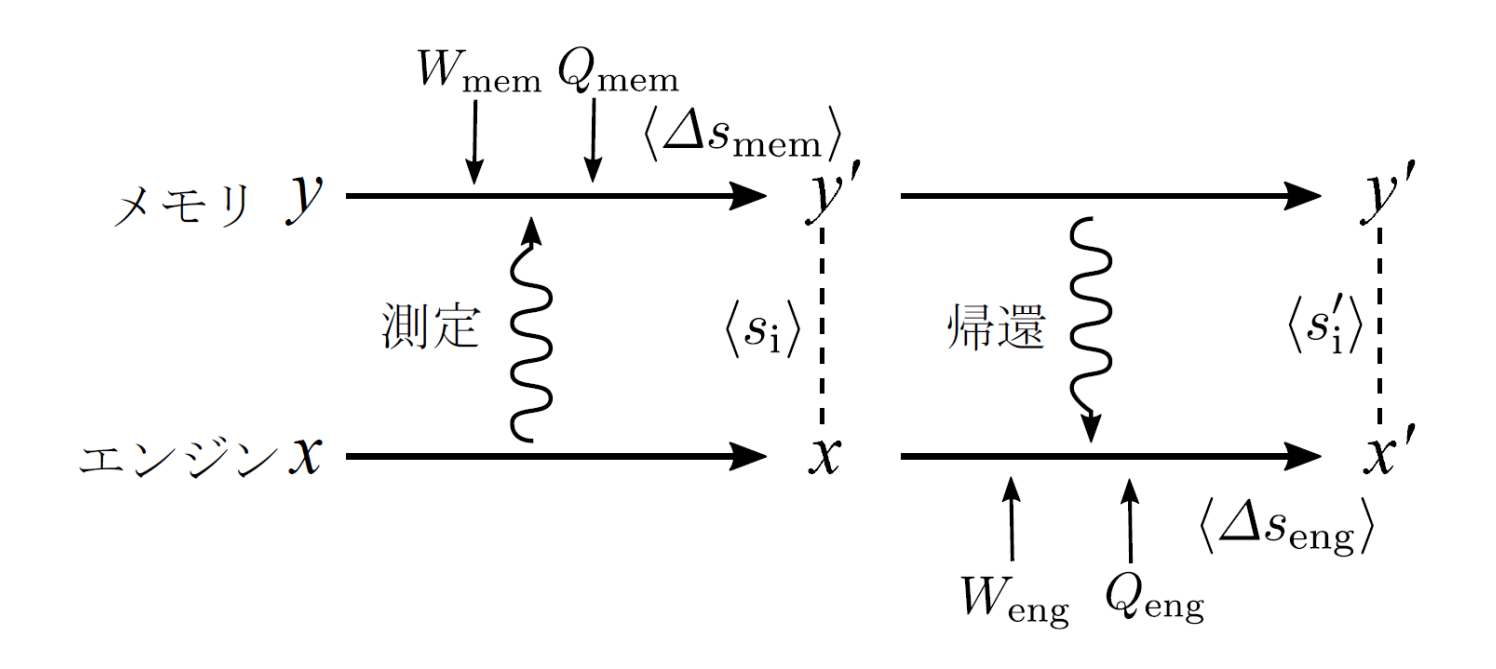
$$\Delta S = S_{\text{def0}} - S_{\text{mem}} - \sum_{y_{\text{b}} = 0.1} p_{y_{\text{b}}} S_{y_{\text{b}}}$$

$$T$$
の熱浴に接している場合 $-\langle Q \rangle \geq k_{
m B} T \left[S_{
m mem} + \sum_{y_{
m b}=0,1} p_{y_{
m b}} S_{y_{
m b}} - S_{
m def0}
ight]$

$$S_0 = S_1 = S_{\text{def0}} \to \Delta S = -S_{\text{init}}$$
 $-\langle Q \rangle \ge k_{\text{B}} T S_{\text{init}}$

Memory消去に伴い、熱浴へ放出される熱

帰還を伴う操作



$$\langle W_{\text{mem}} \rangle \ge \Delta F_{\text{mem}} + k_{\text{B}} T \langle s_{\text{i}} \rangle$$
 $\langle \Delta s_{\text{eng}} \rangle \ge \langle Q_{\text{eng}} \rangle / k_{\text{B}} T - (\langle s_{\text{i}} \rangle - \langle s_{\text{i}}' \rangle)$

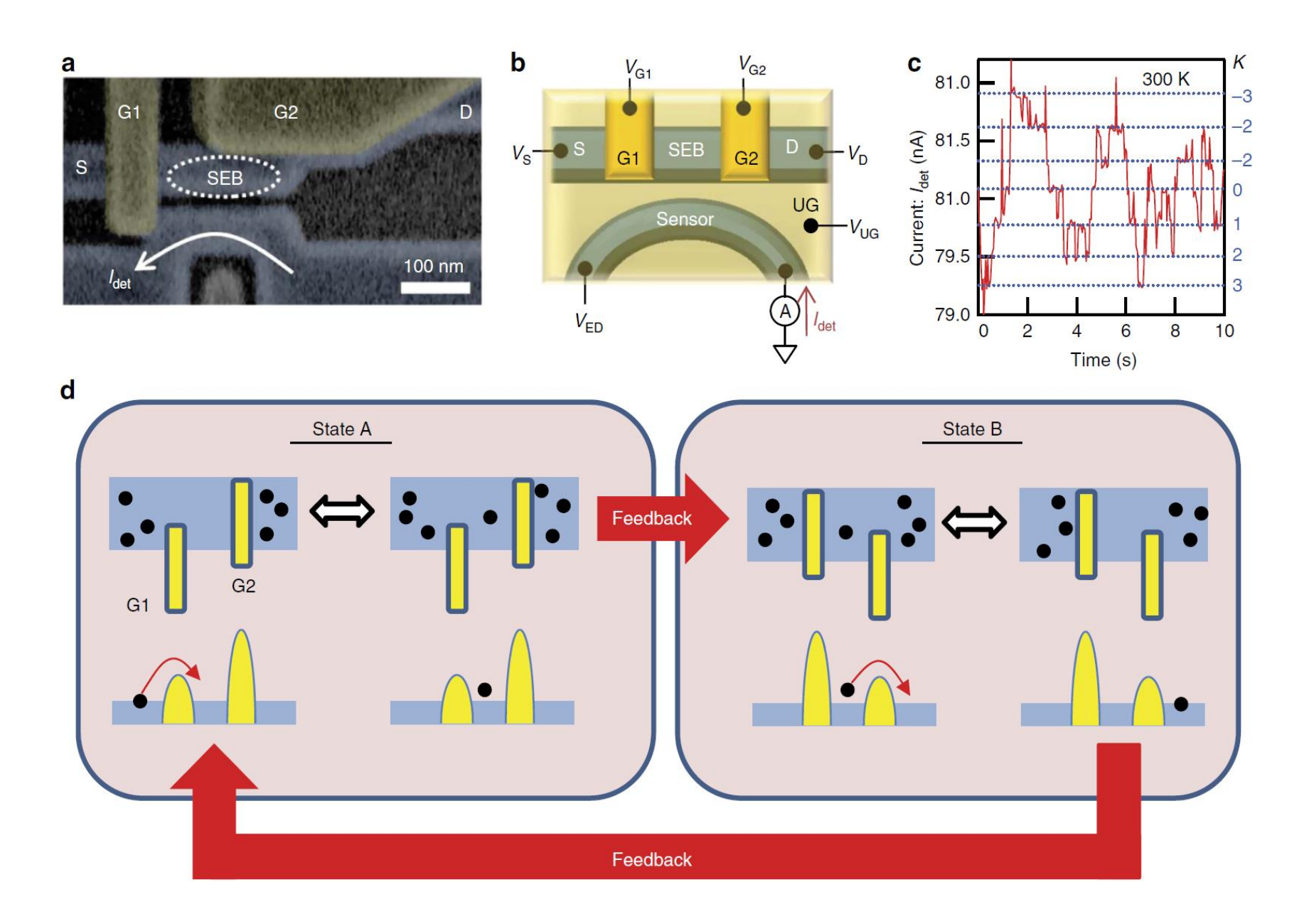
相互エントロピー

$$\langle W_{\mathrm{ext}} \rangle = \langle -W_{\mathrm{eng}} \rangle \leq -\langle \Delta F_{\mathrm{eng}} \rangle + k_{\mathrm{B}} T \langle s_{\mathrm{i}} \rangle$$
 だけの仕事が取り出せる

エンジン自身の自由エネルギー→0 測定のために投入した相互エントロピー

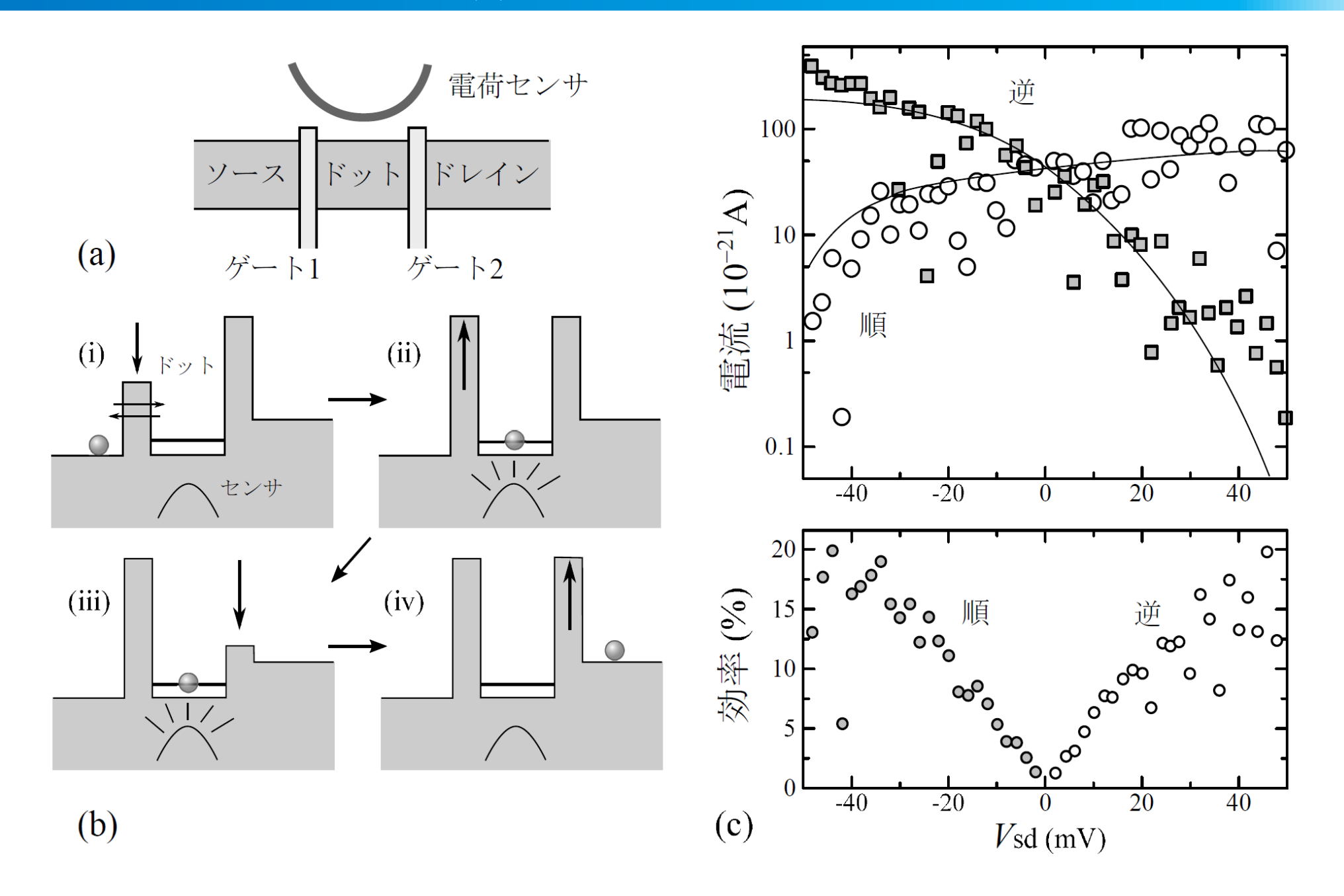
Maxwell daemonの存在は熱力学第2法則とは矛盾しない

量子ドットマックスウェルの悪魔

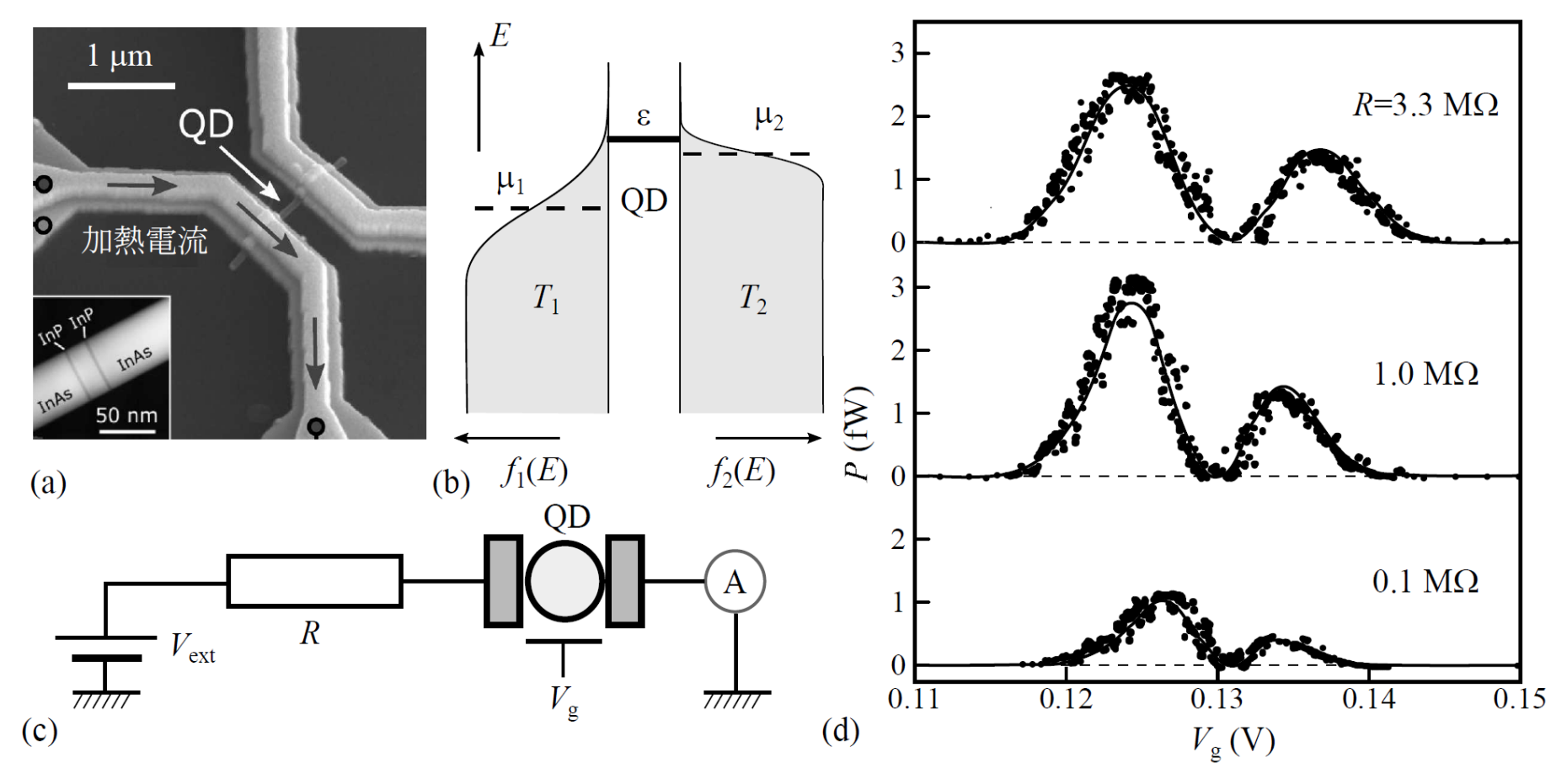


Chida et al. Nature Commn. **8**, 15310 (2017).

量子ドットマックスウェルの悪魔 (2)



量子ドット熱機関



無限時間があれば、理論的にはカルノー効率が出る.

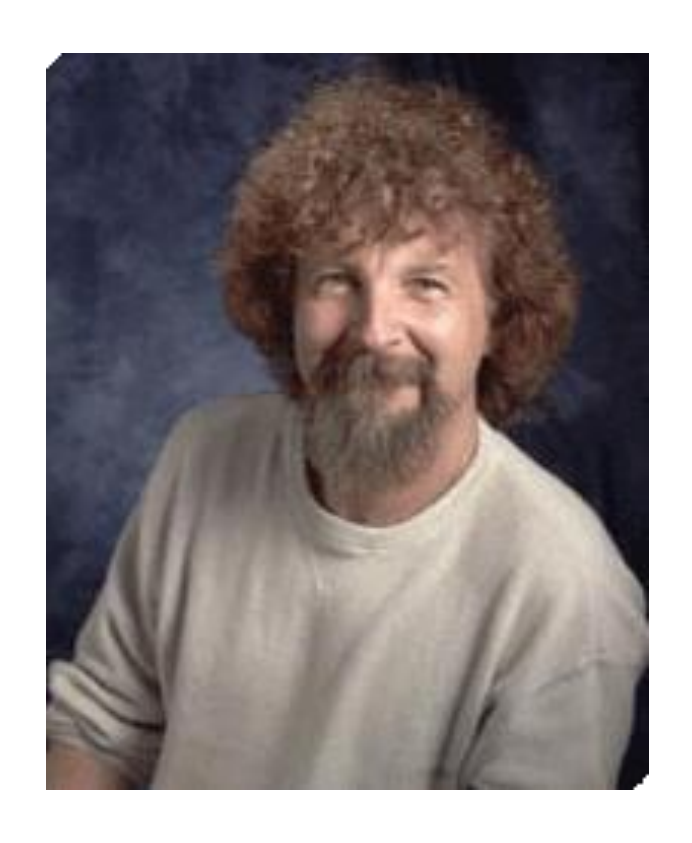
電気伝導体に量子準位が1つしかなく, エントロピー生成がない.

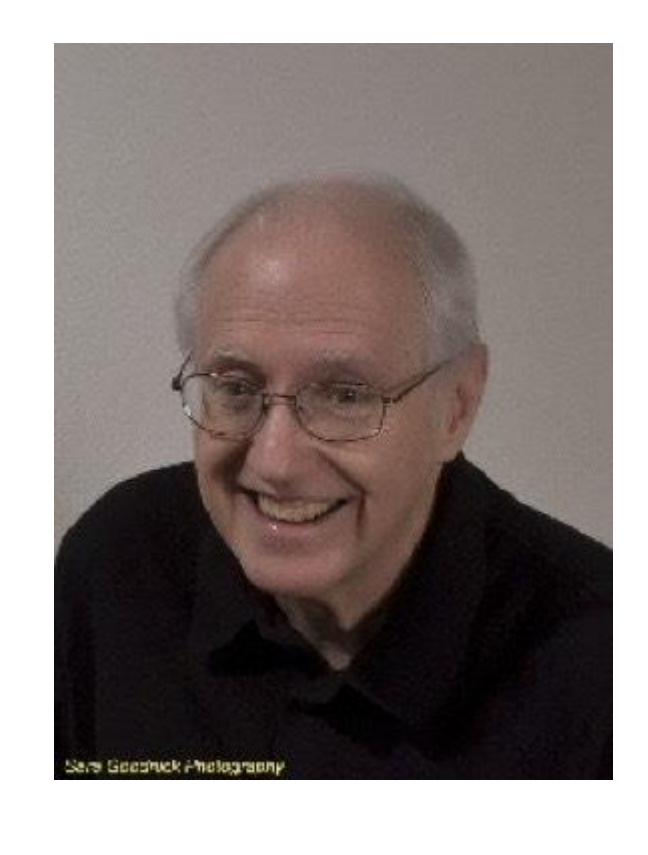
線形領域:Curzon-Ahlborn 効率 $\eta_{\text{CA}} = 1 - \sqrt{T_2/T_1}$

Josefsson et al., PRB **99**, 235432 (2019).

Pointer state and scar wavefunction







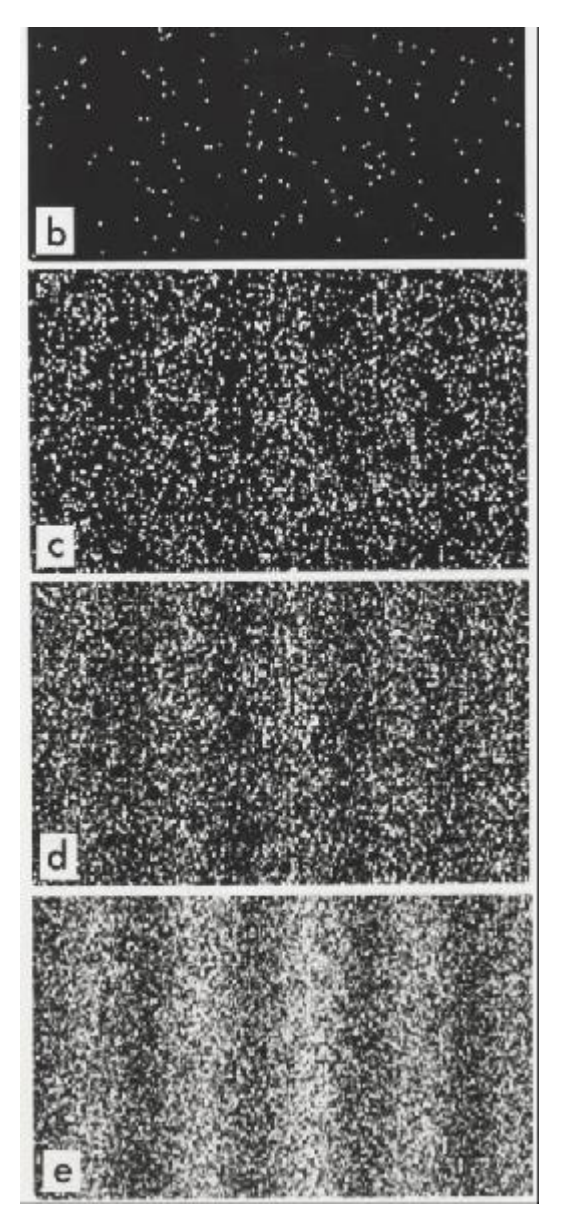
Hugh Everett III (1930 – 1982)

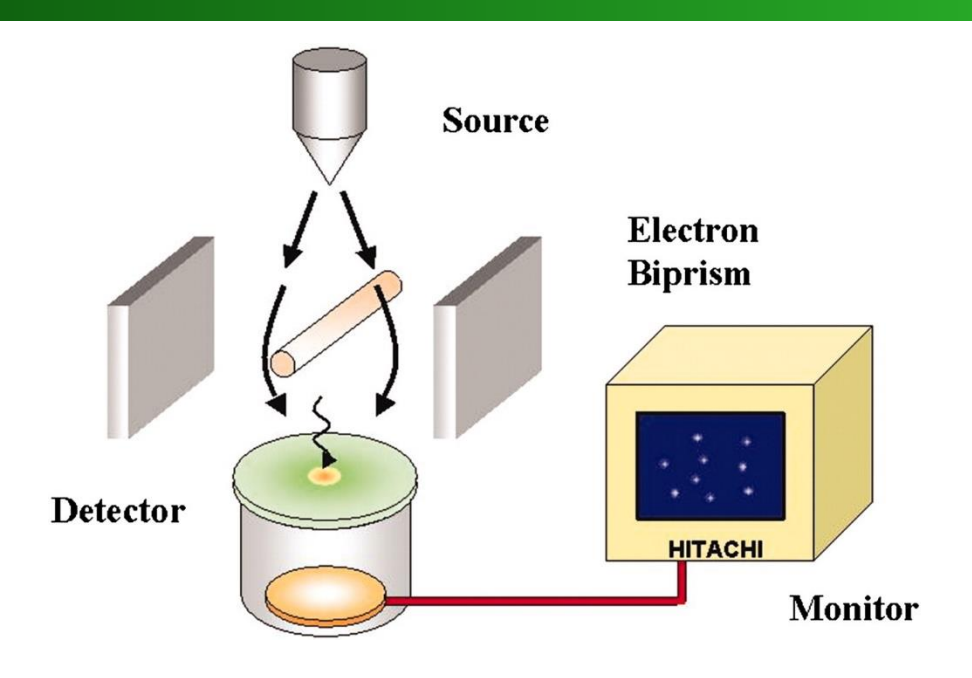
W. H. Zurek (1951 -)

David Ferry (1940 -)

[&]quot;If you are not completely confused by quantum mechanics, you do not understand it."

量子力学の「例の問題」





電子波の2重スリット干渉実験(日立製作所,外村彰)

電子は、ディテクタ上で点として 観測される。 しかし、多数回測定すると、波の 干渉縞が現れる

測定過程自身の定式化:量子情報理論によって決着

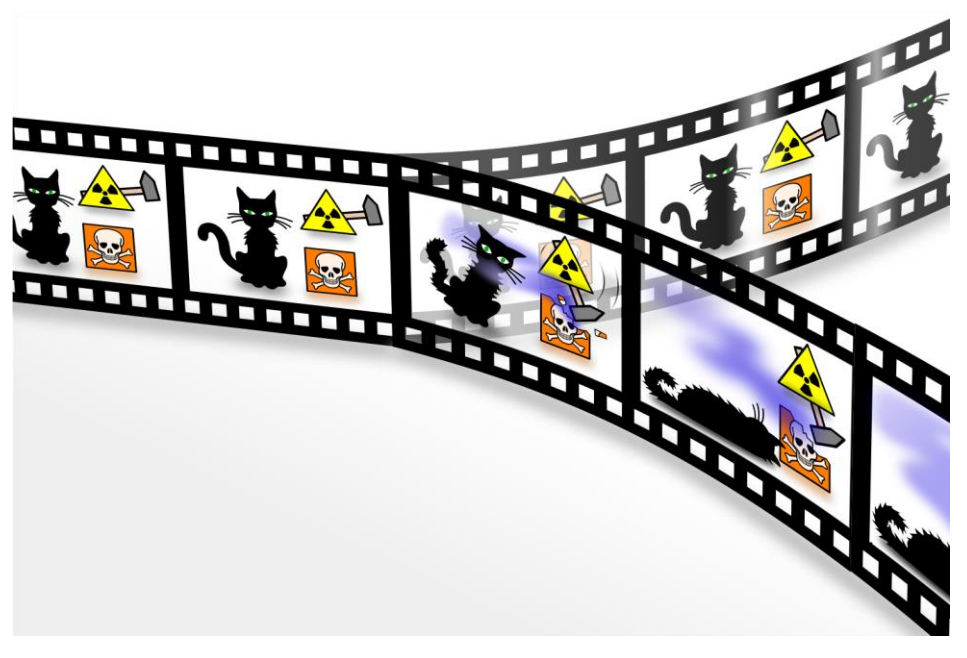
観測問題 (measurement problem) ⇒ 量子力学の解釈 (?)

量子力学のコペンハーゲン解釈

量子力学的波動関数は、(例えば実空間内で) 観測されると収縮 (collapse)し、観測点にδ関数的に分布するものに遷移する.

物理学として不自然ではないか?

多世界解釈 (Splitting universe, many worlds)



https://commons.wikimedia.org/w/index.php?curid =17512691

The many-worlds interpretation of quantum mechanics PhD thesis in Princeton by Hugh Everett III 1957

- 1. 量子力学的状態は時間発展と共に多世界に分岐する
- 2. 観測, 等の量子デコヒーレンス ⇒ 世界間の干渉効果 (情報交換) が途絶

cf. 純粋状態 ⇒ 混合状態への遷移 支持者は増えつつあるが、批判も多い。

The concept of a splitting universe is naturally uneconomical, and the idea of an infinite number of universes can never be proved, since individual universes do not interact. This model is thus accepted by only a small number of scientists, although its clearly deterministic character is attractive.

- Walter Greiner, Quantum Mechanics -- an Introduction (Springer, 1989)

良くある誤解: 「先生、我々は量子的な無線を使って、南部が南北戦争に勝った世界とつながれるでしょうか?」(Colin Bruce, Quantum Rabbits: The Many Worlds of Quantum, 2004)

「量子力学の解釈問題」 和田純夫 訳 講談社ブルーバックス

Quantum Darwinism (「あらすじ」のみ)

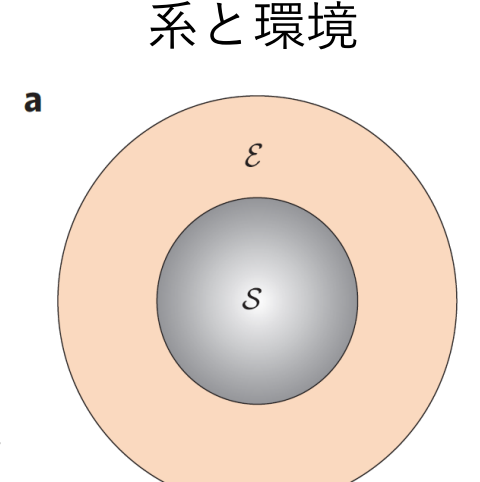
量子デコヒーレンス過程 (観測過程) についての一般論 (多世界論の誤解を避ける上で有効)

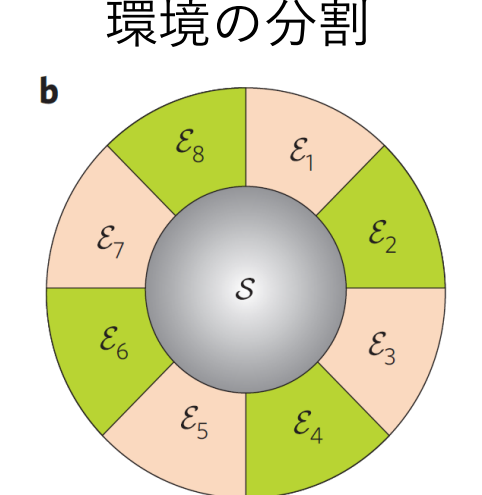
Pointer状態: 系が環境とエンタングルする(デコヒーレンスを起す)ことで、特定の状態が選定される(einselection)。(単一、更には離散的な状態である必要はない)

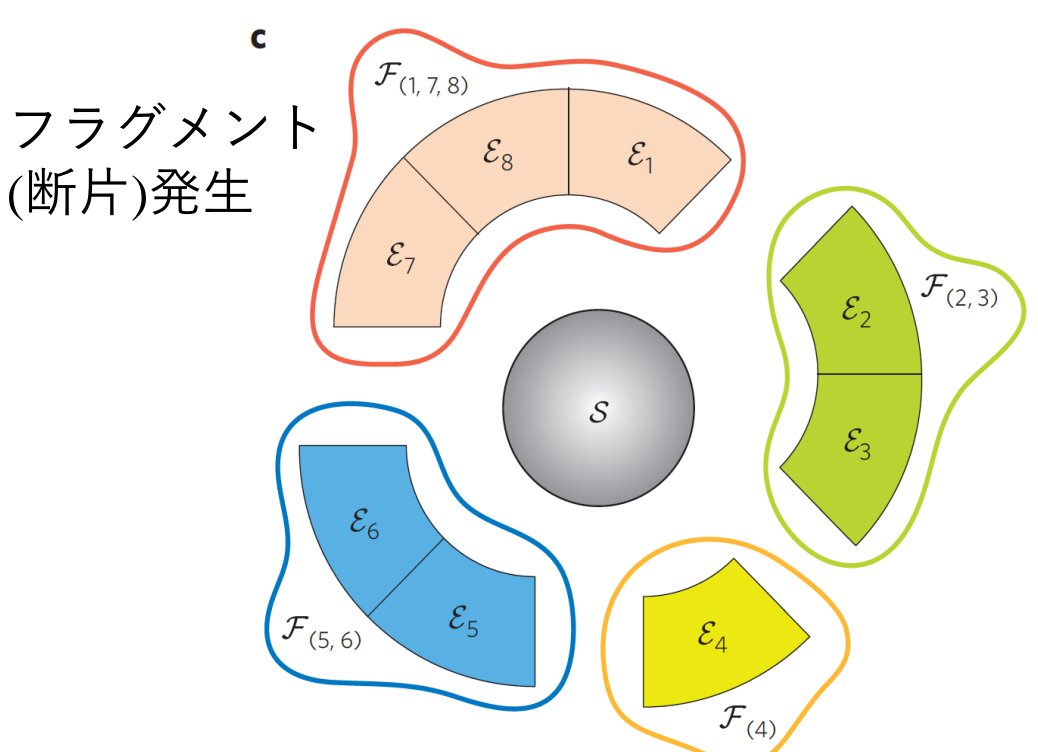
Pointer状態自身はrobustで環境とのエンタングルメントで影響されない

デコヒーレンス⇒ Pointer状態の混合状態へと遷移

系の「情報」は環境の「フラグメント」 に冗長性を持って保存 すなわち, 「あらゆる状態に対応する世 界が無数に存在」するわけではない







Zurek, Nature Phys. **5**, 181 (2009).

Quantum Darwinism (2)

フラグメントが保持する情報量

Remember von Neumann entropy: $H_X = -\text{Tr}[\rho_X \ln \rho_X]$

全体系 (系+環境) の状態: $|\Psi_{\rm t}
angle$ 系: S, フラグメント:F

$$\rho_{\rm S} = \operatorname{Tr}_{\rm F}[|\Psi_{\rm t}\rangle |\Psi_{\rm t}\rangle] = \sum_{i=1}^{N} |a_i|^2 |S_i\rangle \langle S_i| \qquad \rho_{\rm F} = \operatorname{Tr}_{\rm S}[|\Psi_{\rm t}\rangle |\Psi_{\rm t}\rangle] = \sum_{i=1}^{N} |a_i|^2 |F_i\rangle \langle F_i|$$

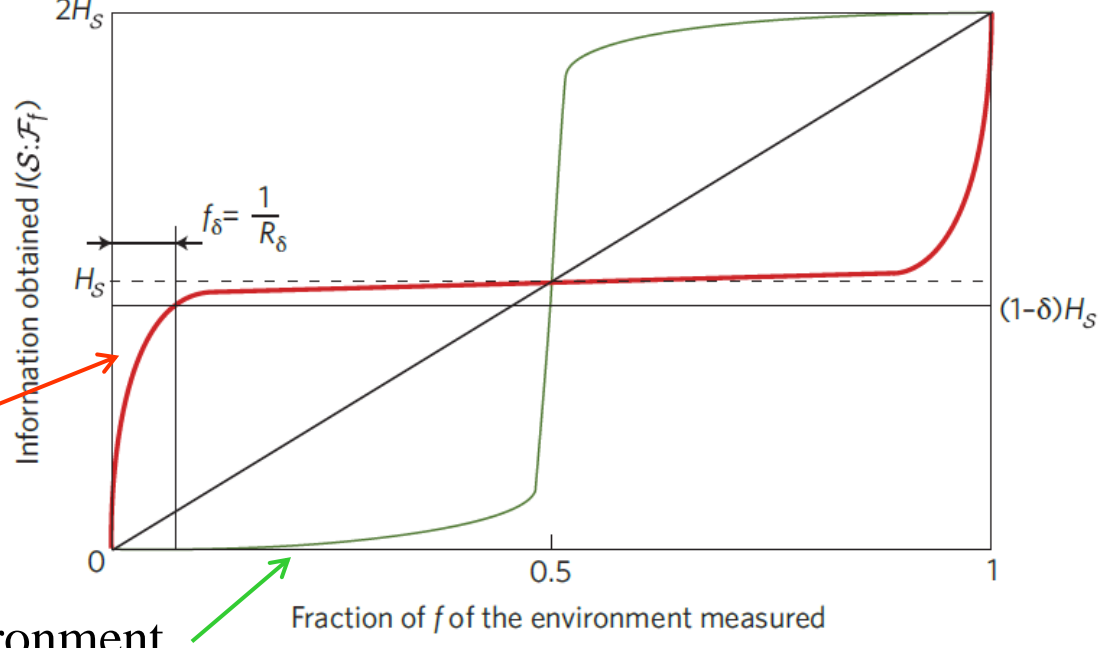
$$H_{\rm S} = -\text{Tr}[\rho_{\rm S} \ln \rho_{\rm S}] = -\sum_{i=1} |a_i|^2 \ln |a_i|^2 = \text{Tr}[\rho_{\rm F} \ln \rho_{\rm F}]$$

相互情報量:

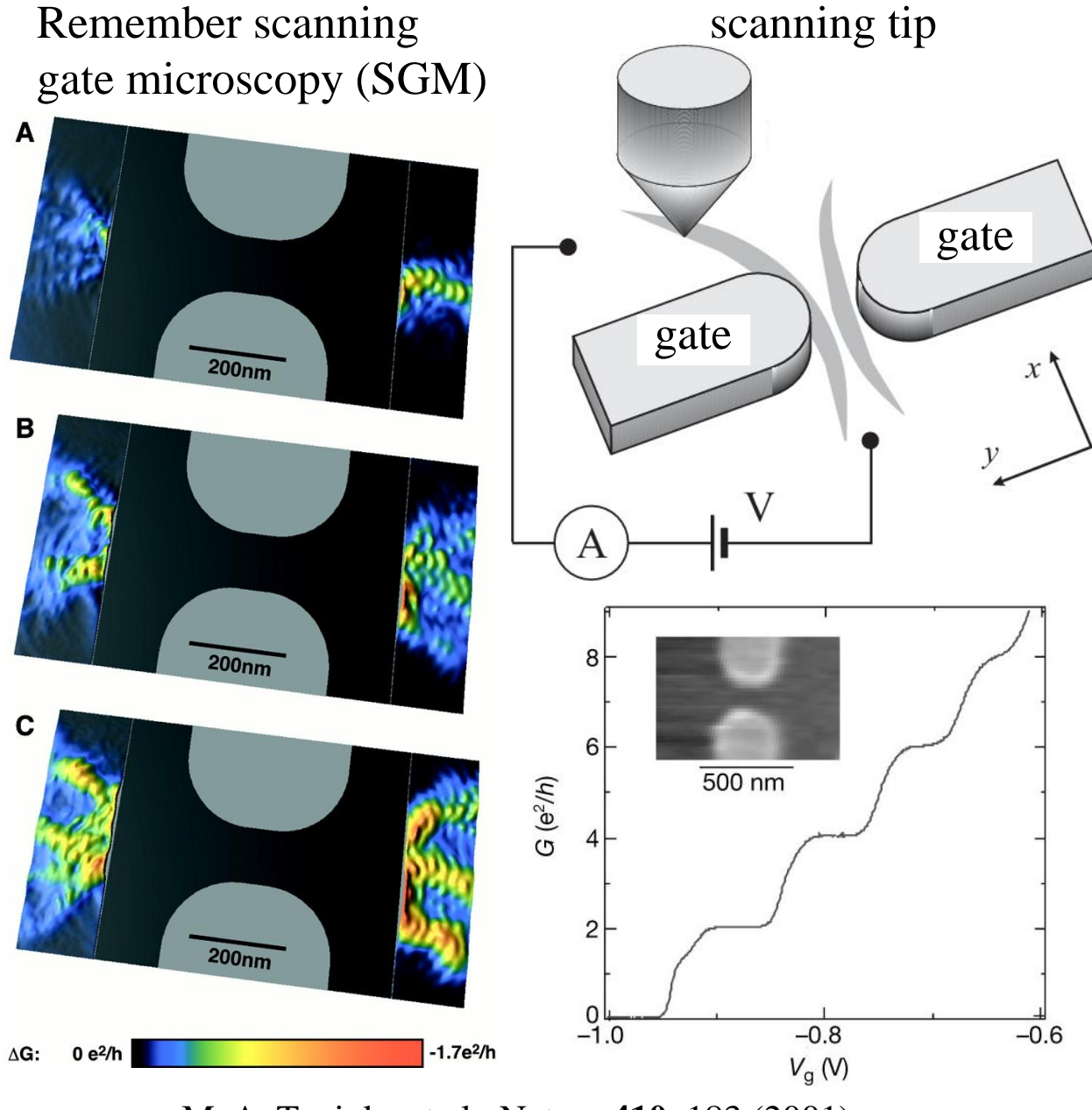
$$I(S, F) = H_S + H_F - H_{SF} = -2\sum_{i=1}^{N} |a_i|^2 \ln |a_i|^2$$

SE created by decoherence

pure state SE randomly picked out environment



Evidence of quantum Darwinism in open quantum dots?



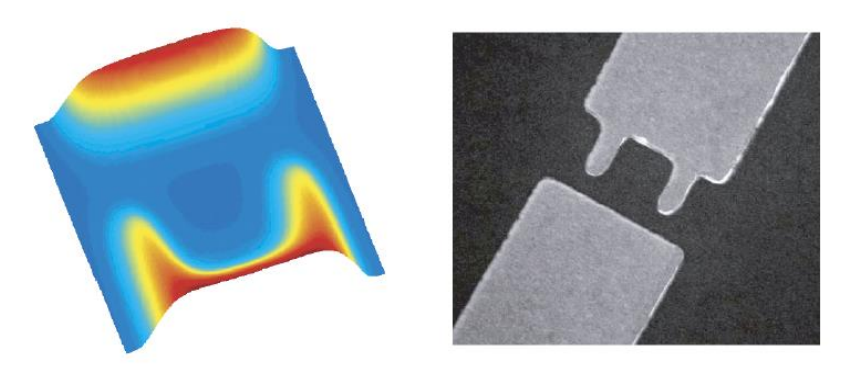
M. A. Topinka et al., Nature **410**, 183 (2001)

Pointer状態:測定に対してrobust



量子ドットのPointer状態が測定に対して robustであるならば、SGMで測定できても 良い?

環境との結合が強い量子ドット: 開放量子ドット (open quantum dots)



ゲート, そのポテンシャル

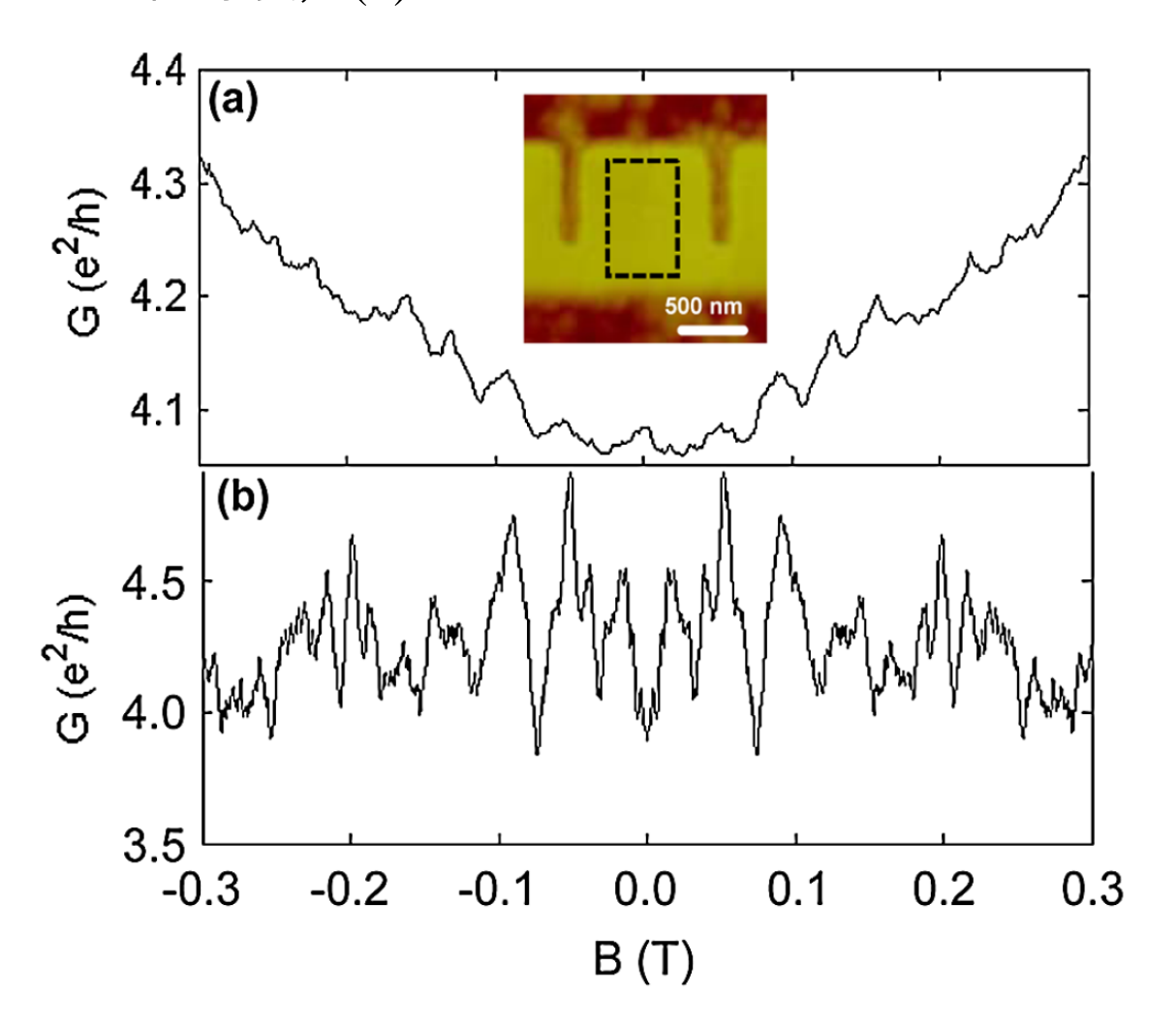
Ferry et al., PRL **93**, 026803 (2004) この時は計算のみ

Pointer状態としてのScar 波動関数 (1)

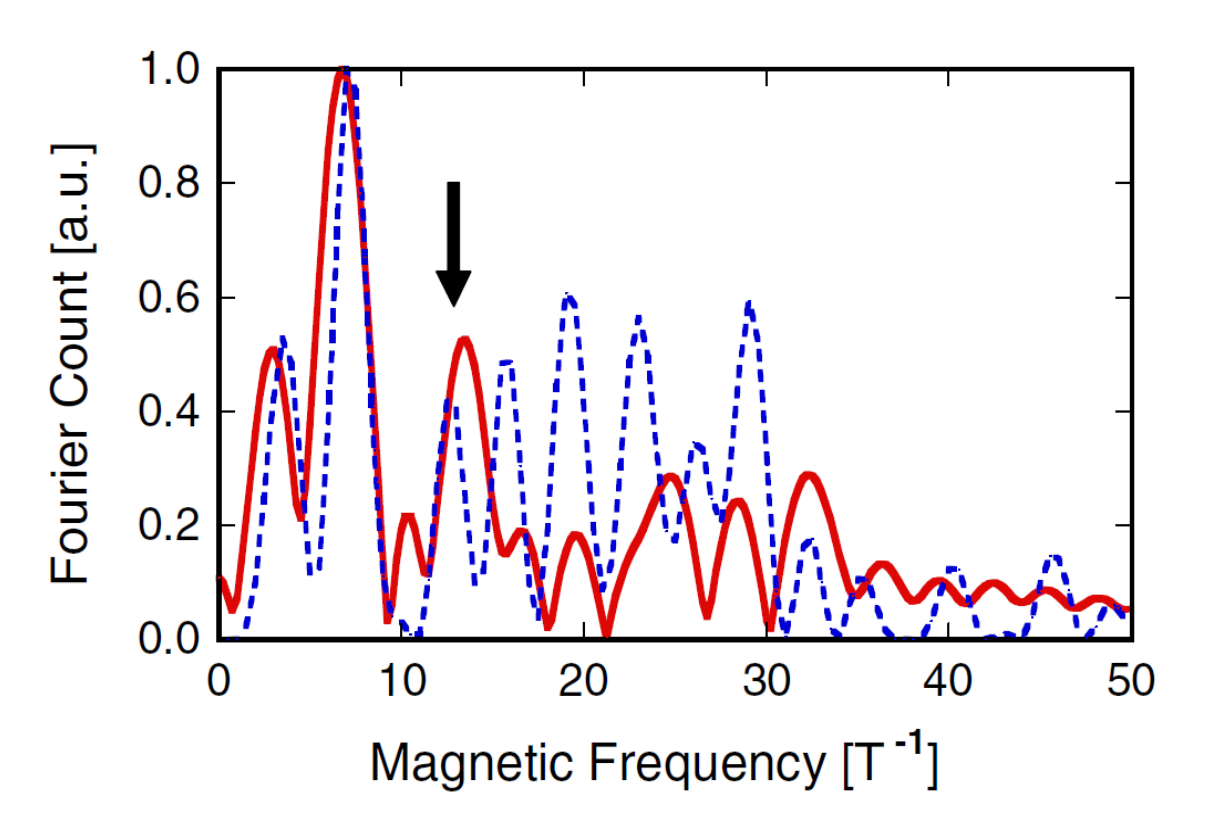
Burk et al., PRL **104**, 176801 (2010)

試料は、InAs量子井戸、AlGaSb障壁に変更

磁気伝導度, (b)はシミュレーション

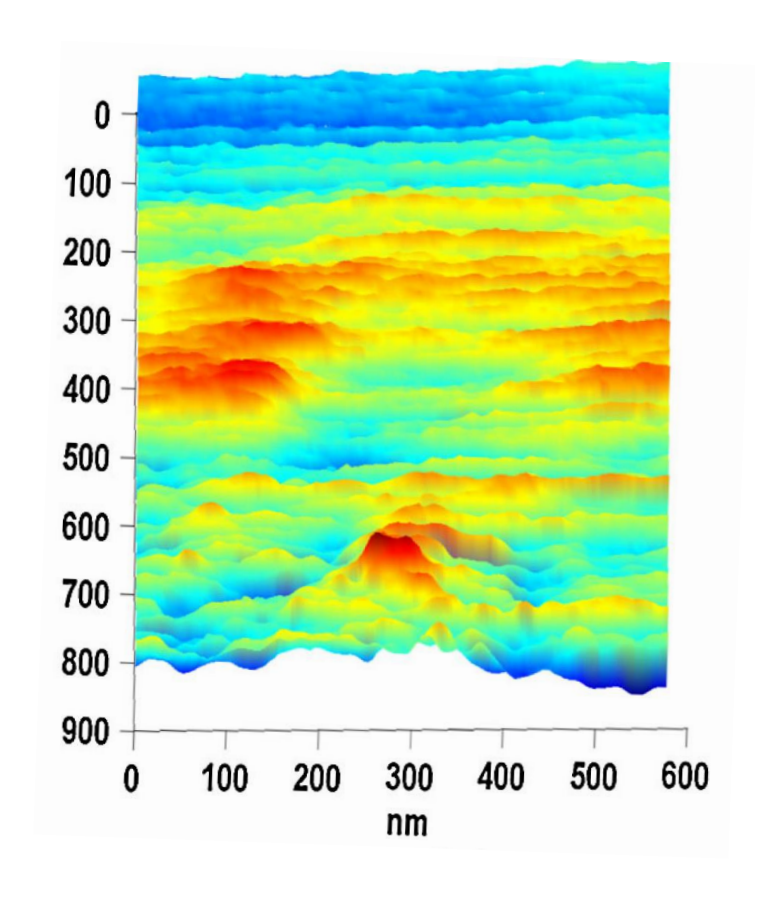


磁気伝導度のFourier cosineスペクトル 実線:実験、破線:シミュレーション

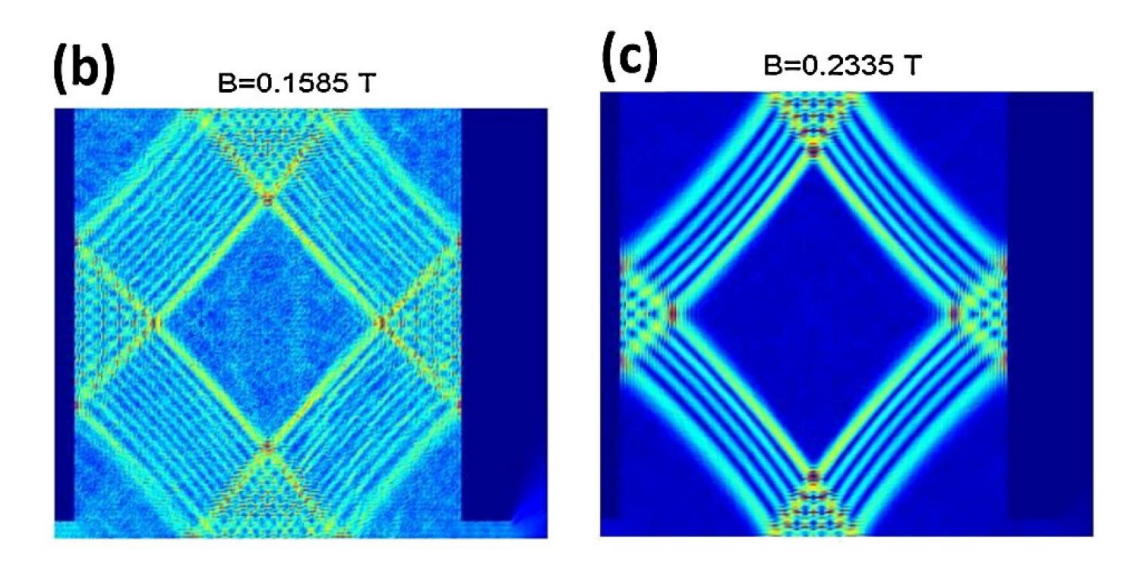


Pointer状態としてのScar 波動関数 (2)

12.7 T⁻¹のピーク高を, SGMの探 針位置に対してプロット

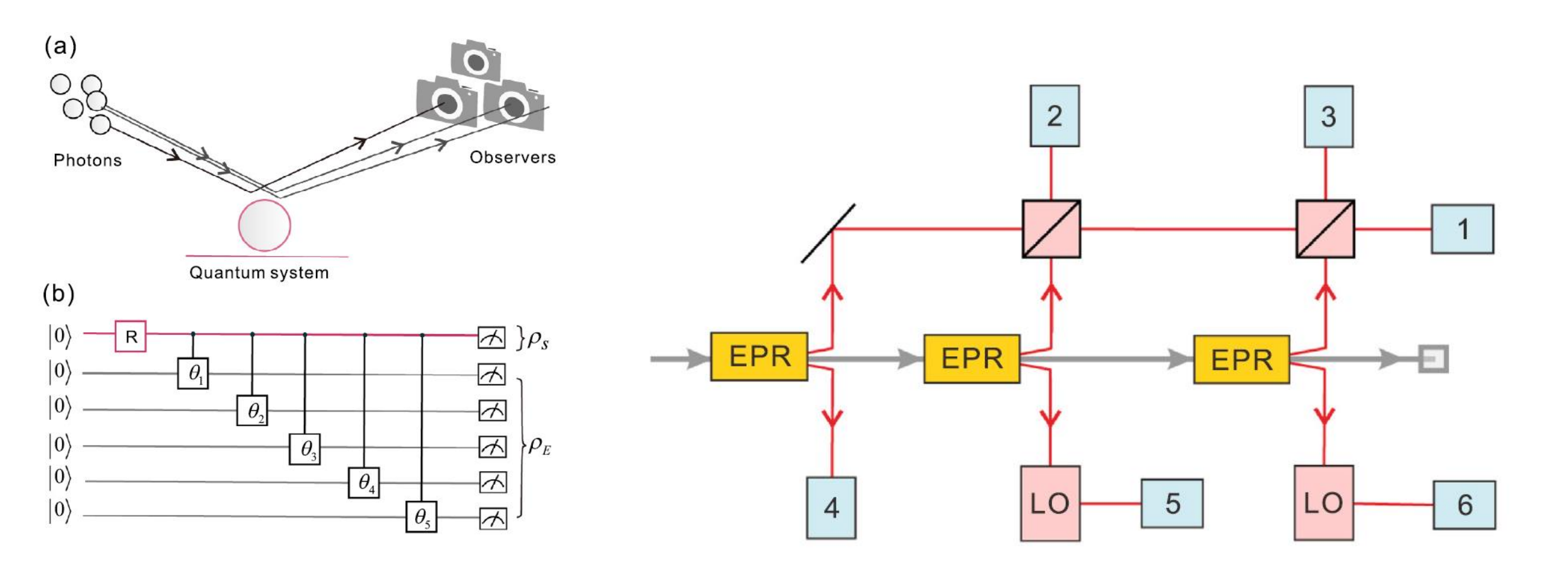


シミュレーションに現れたダイアモンド型 のScar波動関数

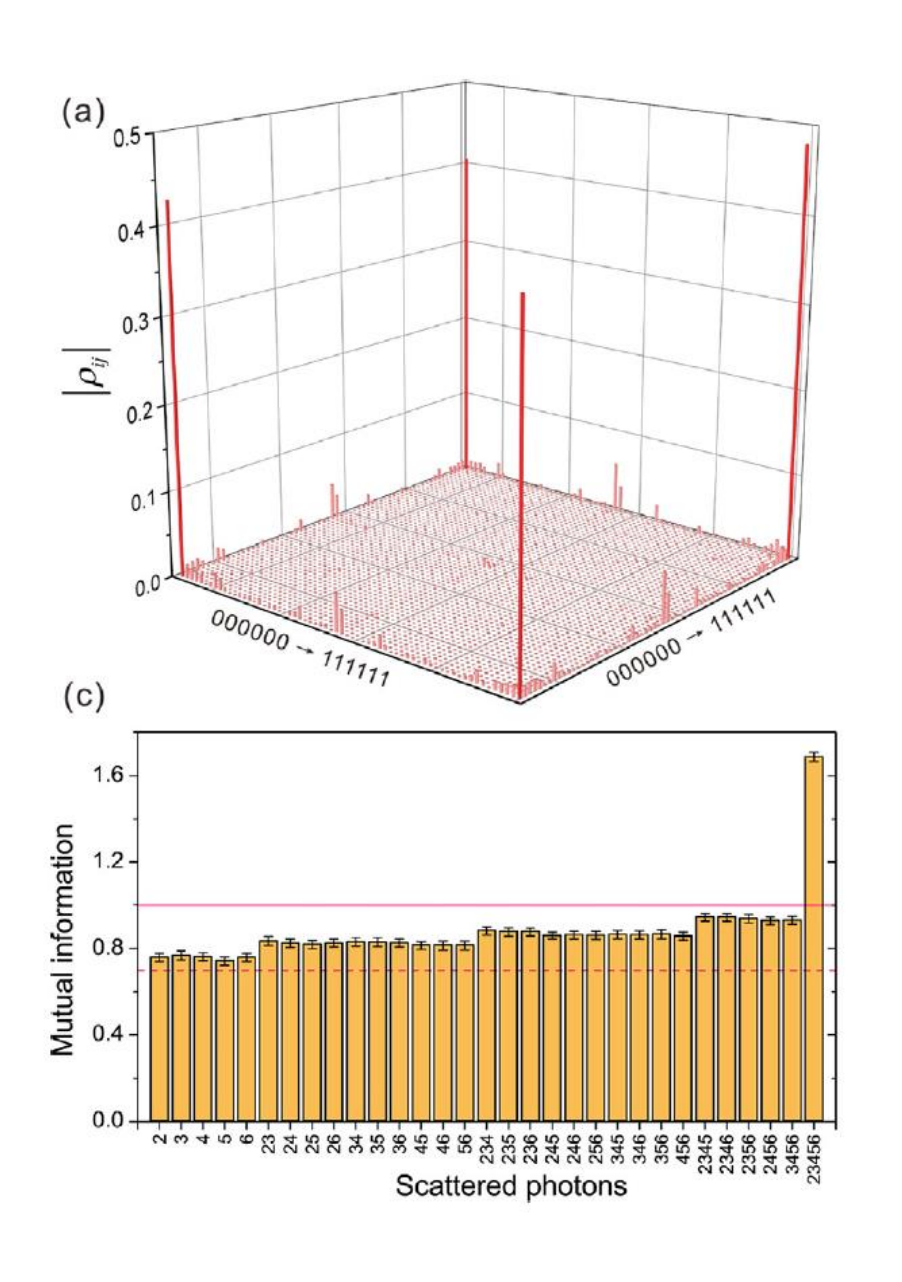


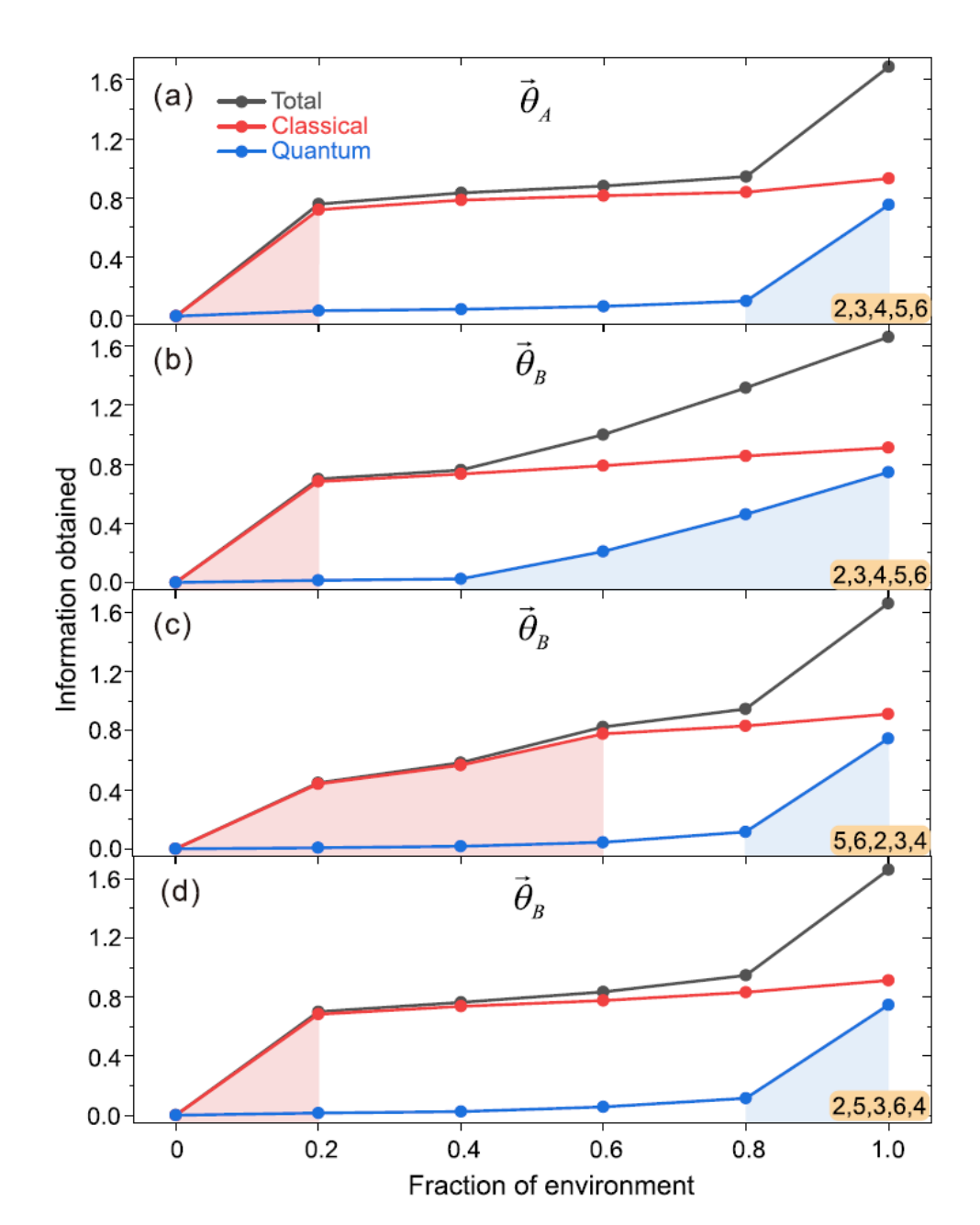
Experiment with a photon quantum simulator

M.-C. Chen et al., Science Bulletin **64**, 580–585 (2019)



Experiment with a photon quantum simulator (2)





5 qubit fragment

3 qubit+2 qubit fragments



https://www.news9live.com/science/physicists-manipulate-ultracold-rydberg-atoms-to-create-synthetic-dimensions-155153

Quantum Many-Body Scar States and Quantum Coherence

Rydberg atoms

リュードベリ(Rydberg) 原子: 最外殻電子を大きな主量子数 n (数10~100)に励起したもの

巨大なサイズ (~ 100 nm)を持つため、量子ドットと同様に外部電場・磁場に敏感

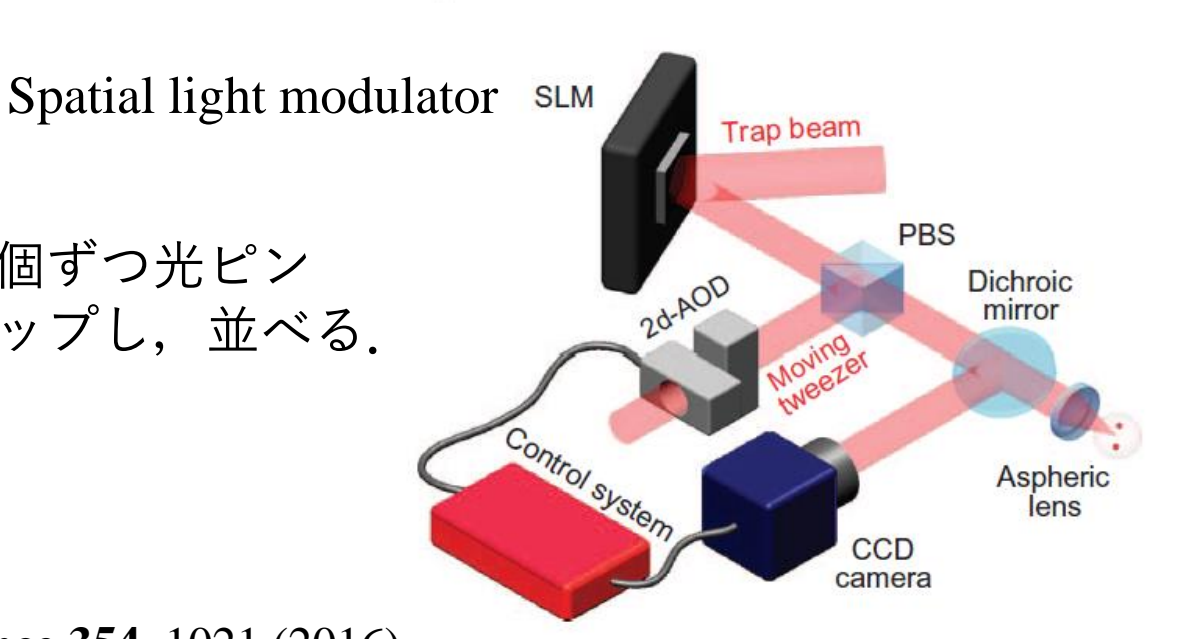
相互作用レンジ、強度を制御できる

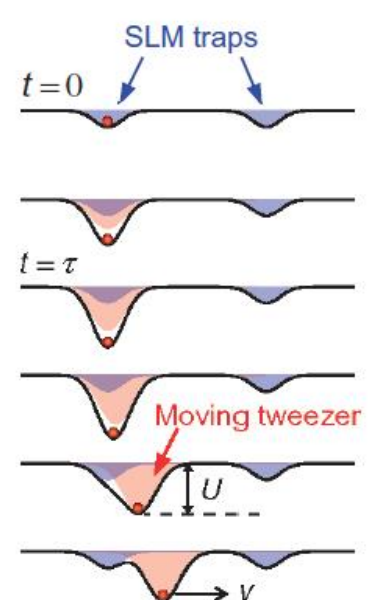
光ピンセットによって配列制御できる

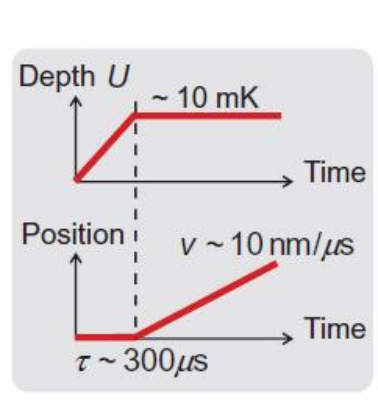


➡> プログラム可能な多体量子シミュレーター

冷却原子を1個ずつ光ピン セットでトラップし,並べる.

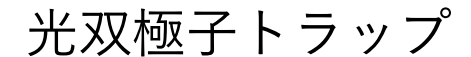


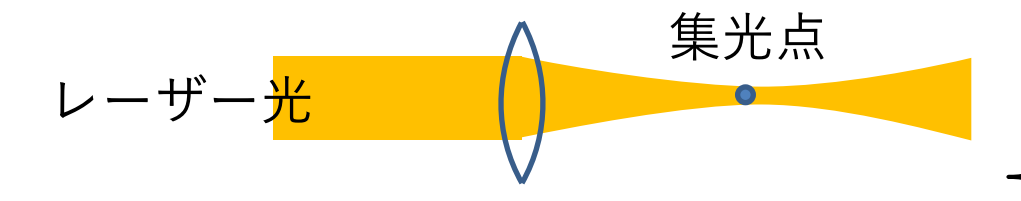




Barredo et al., Science **354**, 1021 (2016)

Optical tweezers





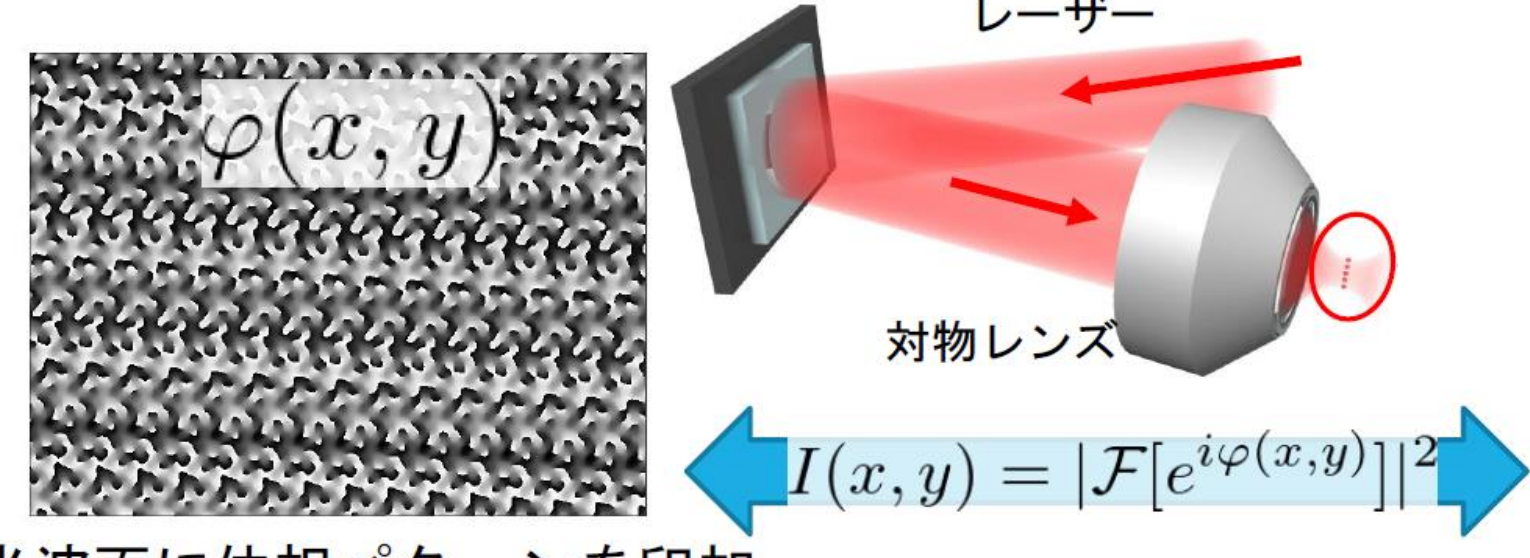
集光点に原子がトラップされる

光によりAC Stark シフトが生じてエネルギー準位が下がる

⇒ 光強度の強い集光点にポテンシャルの低い点

蒸発冷却により原子系を冷やすことも可能

トラップ配列

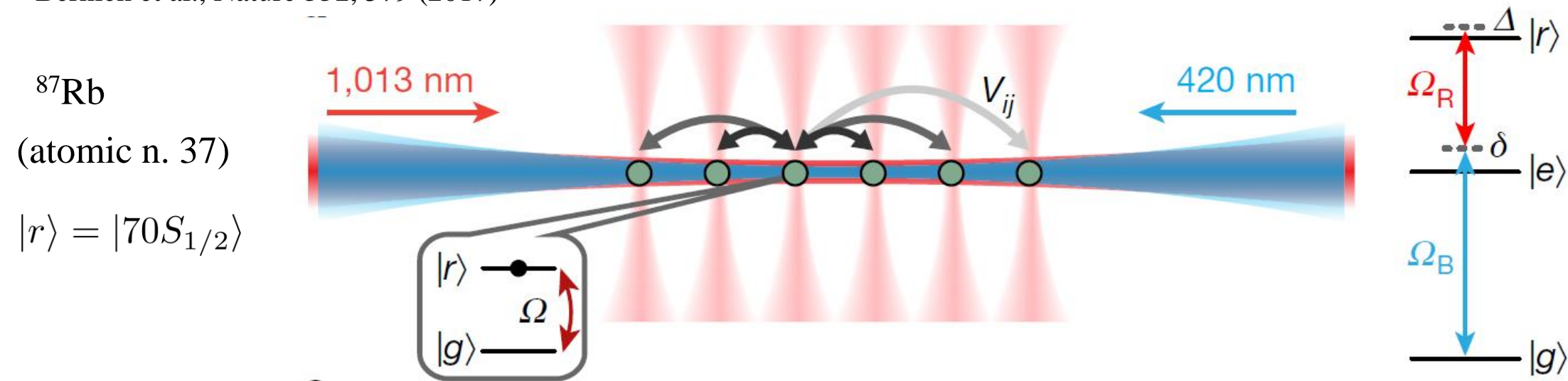


光波面に位相パターンを印加

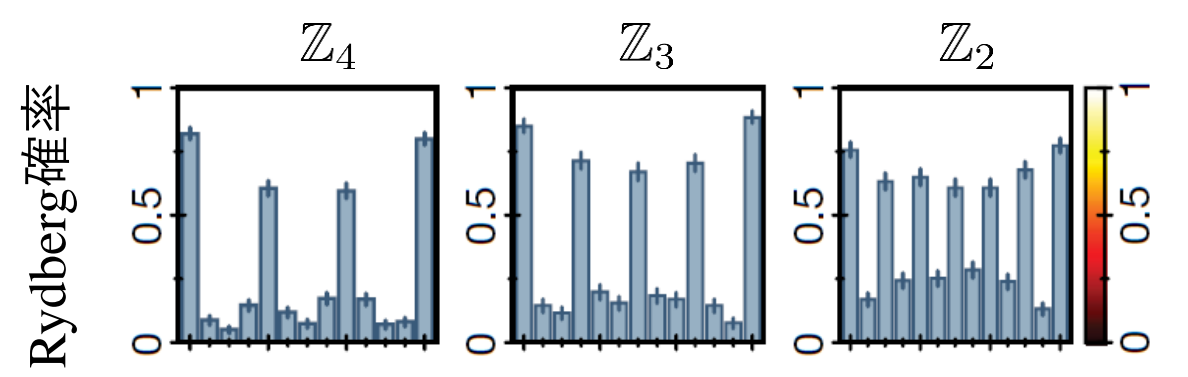
https://ocw.u-tokyo.ac.jp/lecture_files/11447/5/notes/ja/QEd_05_2_tomita.pdf

A Rydberg atoms quantum simulator

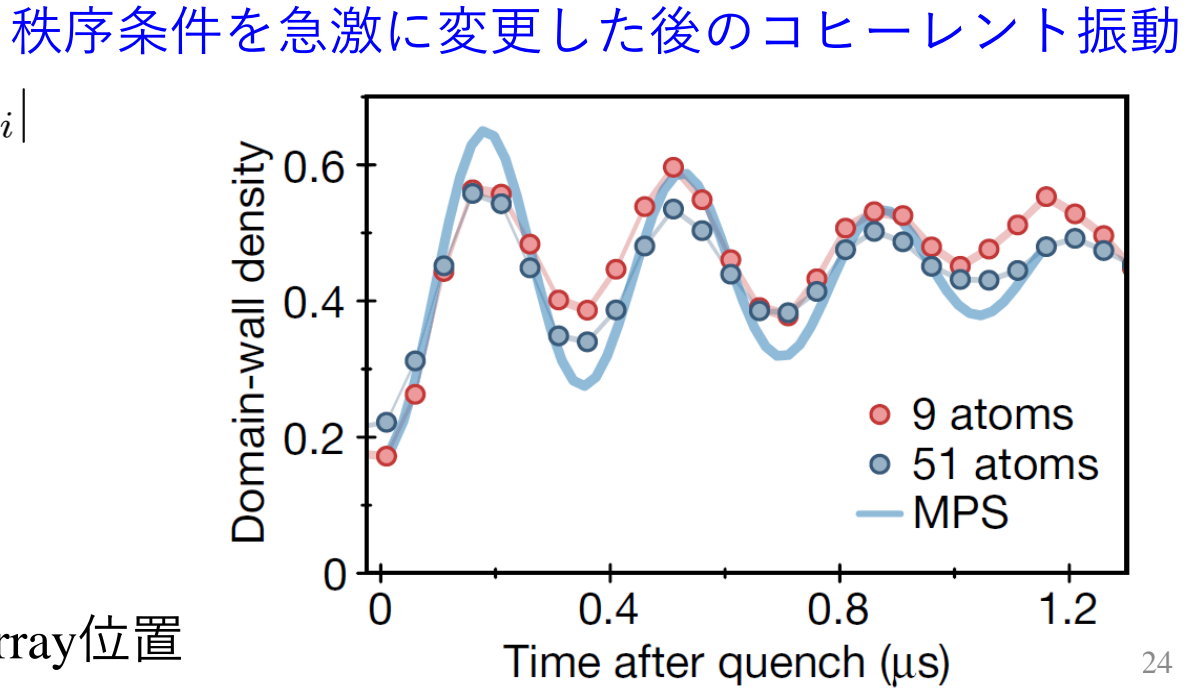
Bernien et al., Nature **551**, 579 (2017)



 $\frac{\mathscr{H}}{\hbar} = \sum_{i} \frac{\Omega_{i}}{2} \sigma_{x}^{i} - \sum_{i} \Delta_{i} n_{i} + \sum_{i < j} V_{ij} n_{i} n_{j}$ $n_i = |r_i\rangle \langle r_i|$ Rabi detuning van der Waals相互作用



Array位置



R原子 基底, 励起状態: |○⟩, |•⟩

Rabi振動: $|\circ\rangle\leftrightarrow|\bullet\rangle$

Rydberg blockade : $V \gg \hbar\Omega$

$$|\mathbb{Z}_2\rangle \equiv |\bullet \circ \bullet \circ \cdots \rangle, \ |\mathbb{Z}_3\rangle \equiv |\bullet \circ \circ \bullet \circ \circ \cdots \rangle$$

PXP 模型:
$$\mathcal{H}_{PXP} = \sum_{i} P_{i-1} \sigma_i^x P_{i+1}$$

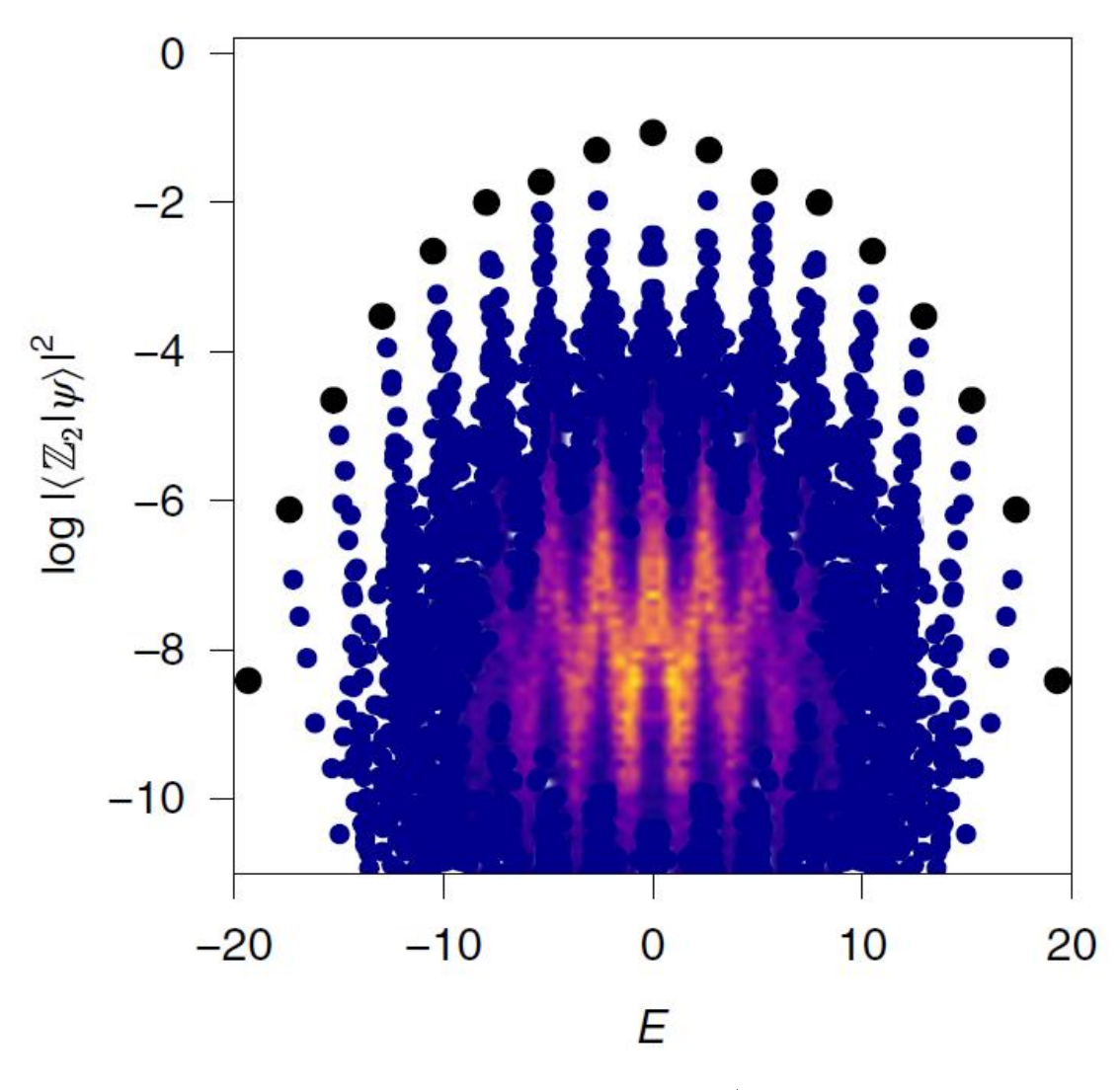
(Pauli x-matrix) $\sigma_i^x = |\circ\rangle_i \langle \bullet|_i + |\bullet\rangle_i \langle \circ|_i$

(相互作用 \Rightarrow Rydberg blockade) $P_i = |\circ\rangle_i \langle \circ|_i$

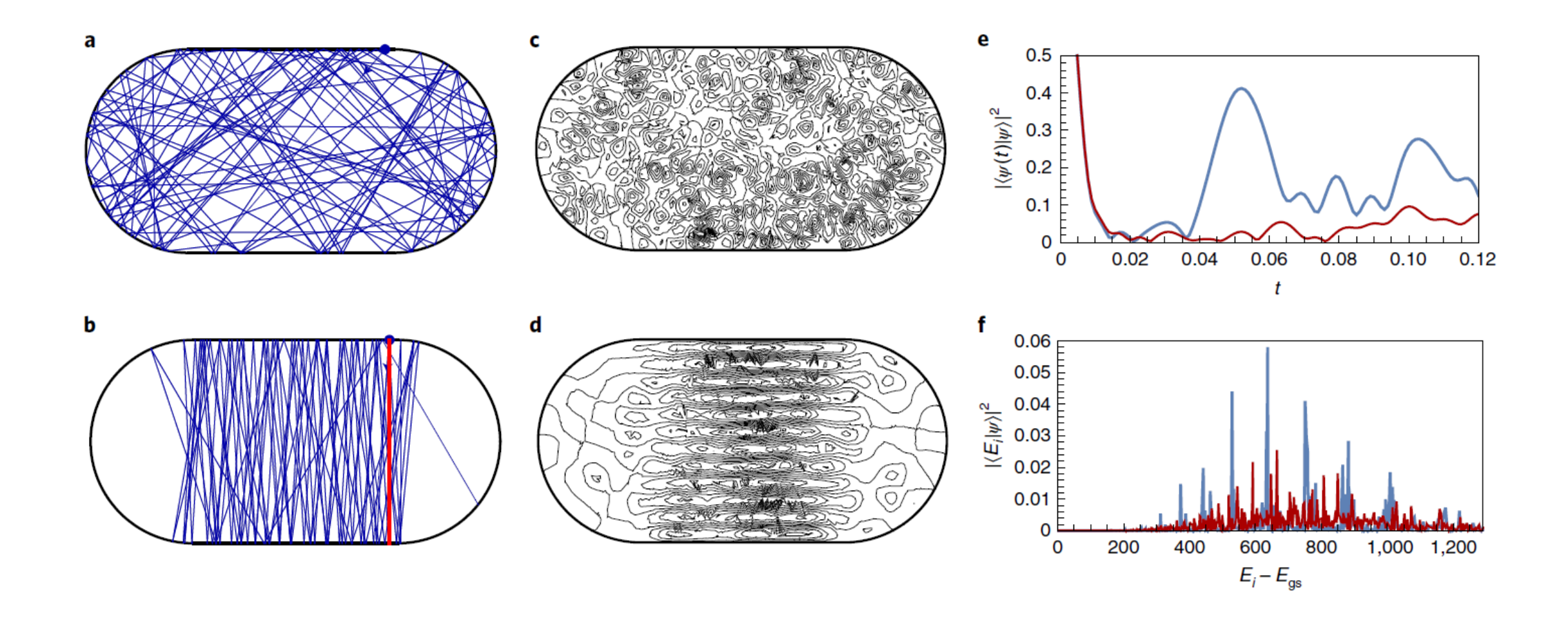
エネルギー固有状態は、量子多体Scar状態で与えられている



Eigenstate thermalization hypothesis (ETH) の前提条件:固有状態の分布はスムーズが満たされておらず、弱く破れている



32原子のPXP模型で、エネルギー固有状態 ψ に対して $\langle \mathbb{Z}_2 | \psi \rangle$ を数値計算



Many-body scars and weak ETH breakdown

Spectrum-generating algebra

AKLT model, PXP model, spin-1 XY magnets, extended Hubbard model

Krylov restricted thermalization

1D limit of FQHE, fracton models, bosons in optical lattices Projector embedding

Topological lattice models, frustrated magnets, lattice supersymmetry

Quantum technology

Rydberg atom quantum simulators, quantum metrology and control

Quantum-classical correspondence

Quantum many-body chaos, quantum KAM theorem

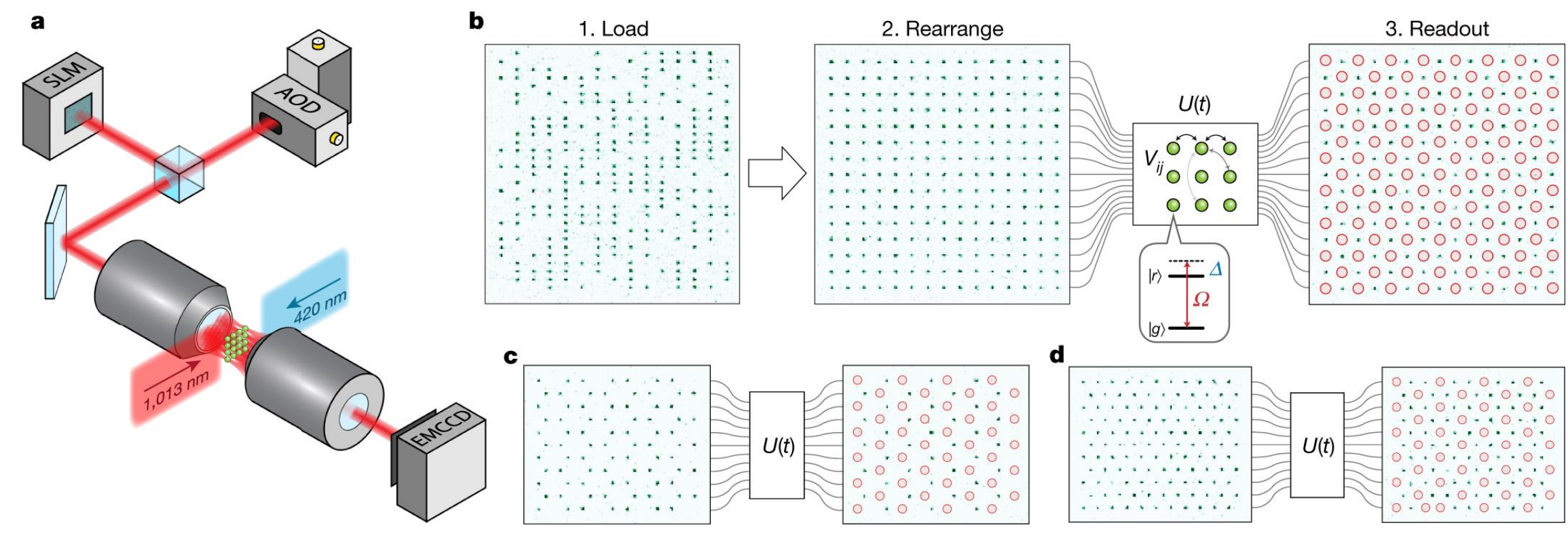
Commercial quantum simulator?



QuEra社 https://www.quera.com/

Ebadi et al., Nature **595**, 227 (2021).

Quantum phases of matter on a 256-atom programmable quantum simulator



Summary

- 1. 量子ドットによるマックスウェルの悪魔
- 2. 量子ドット熱機関
- 3. Rydberg原子量子シミュレーターの量子多体Scar状態と多体コヒーレンス振動